

Pieri-rule of K -theory ring of maximal Isotropic Grassmannians

岡山理科大学・理学部 池田 岳
Takeshi Ikeda

Department of Applied Mathematics, Okayama University of Science

Abstract

K 理論的なシューベルト・カルキュラスの一般的な問題意識を説明する。2002年に出版された A. Buch の結果が epoch-making である。その後の 15 年間にどのような結果が得られたかについて簡単に説明する。最後に、我々が最近得た結果を述べる。

1 一般旗多様体

古典的なシューベルト・カルキュラスはグラスマン多様体に対して展開された。その自然な一般化として一般旗多様体のシューベルト・カルキュラスを研究する。そのための基本設定と記号は以下の通りである。

- G : 連結複素半単純線型代数群
- B : G のボレル部分群 (連結極大可解閉部分群)
- T : B に含まれる極大トーラス
- B^- : B の「反対」ボレル部分群, つまり $T = B \cap B^-$ となるボレル部分群.
- $W = N_G(T)/T$: ワイル群と長さ関数 $\ell: W \rightarrow \mathbb{N}$.
- P : 放物型部分群 $P \supset B$.
- P に付随して単純ルートの集合 $I = \{\alpha_1, \dots, \alpha_r\}$ の部分集合 I_P が定まる。1元集合 $I_P = \{\alpha_k\}$ が対応するのは極大放物部分群 P であり, このとき $P = P_k$ と書く。また $I_B = I$ である。
- $W_P \subset W$: s_i ($i \in I \setminus I_P$) によって生成される部分群。
- $W^P := \{w \in W \mid \ell(ws_i) = \ell(w) + 1 \text{ for all } i \in I \setminus I_P\}$.
- 全単射 $W/W_P \cong W^P$ がある。

シューベルト多様体

シューベルト多様体は W^P の元ごとに定義される既約な閉部分多様体である。

- $w \in W^P$ に対して $e_w = \dot{w}P \in G/P$ と定義する。

- $G/P = \sqcup_{w \in W^P} B^- e_w$. $B^- e_w \cong \mathbb{C}^{\dim G/P - \ell(w)}$.
- $X_w = \overline{B^- e_w} = \sqcup_{v \geq w} B^- e_v$: Schubert variety.

例 1.1 (Grassmannian case)

- $G/P = Gr(d, n) =$ the Grassmannian of d -spaces in \mathbb{C}^n .
- $G = SL_n(\mathbb{C})$. $W = S_n$. $I_P = \{\alpha_d\} \subset I = \{\alpha_1, \dots, \alpha_{n-1}\}$.
- $W_P \cong S_d \times S_{n-d}$.
- $W^P = \{w \in S_n \mid w(i) < w(i+1) \text{ for } i \neq d\}$.
- $W^P \cong \mathcal{P}_{d,n} := \{\lambda = (\lambda_1, \dots, \lambda_d) \in \mathbb{Z}^d \mid n-d \geq \lambda_1 \geq \dots \geq \lambda_d \geq 0\}$.
- $w(i) - i = \lambda_{d-i+1}$. Denote the Schubert structure constants by $c_{\lambda, \mu}^\nu$.

例 1.2 ($LG(n)$)

- $G = Sp_{2n}(\mathbb{C})$. $P = P_{\{\alpha\}}$. α : the unique long simple root.
- $\langle \cdot, \cdot \rangle$ a symplectic form on \mathbb{C}^{2n} .
- $G/P = \{L \subset \mathbb{C}^{2n} \mid \dim(L) = n, \langle \mathbf{u}, \mathbf{v} \rangle = 0 \text{ } (\mathbf{u}, \mathbf{v} \in L)\}$
 $= LG(n)$: the Lagrangian Grassmannian.
- $W = S_n \times \{\pm 1\}^n$, $W_P = S_n$ であって, W^P は

$$\mathcal{SP}_n := \{\lambda \in \mathbb{Z}^n \mid n \geq \exists r \geq 0 \ n \geq \lambda_1 > \dots > \lambda_r > 0, \lambda_{r+1} = \dots = \lambda_n = 0\}$$
と同一視される. \mathcal{SP}_n の元を **strict partition** と呼ぶ.

例 1.3 ($OG(n)$)

- $G = SO_{2n+1}(\mathbb{C})$. $P = P_{\{\alpha\}}$. α : the unique short simple root.
- $\langle \cdot, \cdot \rangle$ a non-degenerate symmetric bilinear form on \mathbb{C}^{2n+1} .
- $G/P = \{V \subset \mathbb{C}^{2n+1} \mid \dim(V) = n, \langle \mathbf{u}, \mathbf{v} \rangle = 0 \text{ } (\mathbf{u}, \mathbf{v} \in V)\}$
 $= OG(n)$: the maximal orthogonal Grassmannian.
- W^P はやはり \mathcal{SP}_n と同一視される.

2 K 理論的なシューベルト・カルキュラス

K 理論的なシューベルト・カルキュラスの基本問題を述べる.

- $K^0(G/P)$: G/P 上の局所自由層のなす Grothendieck 群. テンソル積によって環構造を持つ.
- $K_0(G/P)$: G/P 上の連接層のなす Grothendieck 群
- G/P は非特異なので $K^0(G/P) \cong K_0(G/P)$ と同一視できる.

- シューベルト多様体の構造層が基底を与える：

$$K_0(G/P) = \bigoplus_{w \in W^P} \mathbb{Z}[\mathcal{O}_{X_w}].$$

- K 理論的シューベルト・カルキュラス

$$[\mathcal{O}_{X_w}] \cdot [\mathcal{O}_{X_v}] = \sum_{u \in W^P} (-1)^{\ell(u) - \ell(w) - \ell(v)} c_{w,v}^u [\mathcal{O}_{X_u}].$$

構造定数 $c_{w,v}^u$ は非負整数であることが知られている。 $\ell(u) = \ell(w) + \ell(v)$ ならば $c_{w,v}^u$ はコホモロジー環 $H^*(G/P)$ のシューベルト構造定数と一致する。 K 理論の場合は $\ell(u) > \ell(w) + \ell(v)$ であっても $c_{w,v}^u$ は一般には零でない。

以下のような結果が知られている。

- $K_0(Gr(d, n))$: Buch [1], 集合値の semistandard tableaux を用いて記述される。短い別証明が I.-Shimazaki [7] によって与えられている。
- $K_0(OG(n))$: $\mu = (k)$ (a row) 「Pieri 規則」の場合は: Buch-Ravikumar [2] が証明した。一般の場合は Thomas-Yong [13] によって予想が与えられ Clifford-Thomas-Yong [4] によってその予想が示された。より新しい別な記述が Pechenik-Yong [8] によって与えられている。
- $K_0(LG(n))$: $\mu = (k)$ (a row) 「Pieri 規則」の場合は: Buch-Ravikumar [2] が証明した。ピエリ規則の別証明が I.-Naruse-Numata [6] によって与えられている。一般の場合は予想さえ得られていない。

この講演の目的は $K_0(OG(n))$ の構造定数の新しい記述の予想を与えることである。特別な場合 (ピエリ規則) が主定理である。

3 Pragacz の結果と Stembridge の規則

$LG(n), OG(n)$ のコホモロジー環のシューベルト構造定数に関して知られていることを説明する。

- $LG(n)$ と $OG(n)$ の場合は同一視 $W^P \cong \mathcal{SP}_n$ ができることを思い出す。
- Pragacz [9]: $[X_\lambda]_{LG}$ は Schur Q 関数 $Q_\lambda(x)$ によって表現され、 $[X_\lambda]_{OG}$ は P 関数 $P_\lambda(x) = 2^{-r_\lambda} Q_\lambda(x)$ によって表現される。ここで r_λ は λ の零でない成分の個数である。特に

$$c_{\lambda,\mu}^\nu(LG) = 2^{r_\lambda + r_\mu - r_\nu} c_{\lambda,\mu}^\nu(OG)$$

である。

- P 関数の構造定数 $c_{\lambda, \mu}^{\nu}$ の組合せ的記述は Stembridge [12] によって与えられた. そこでは **marked shifted tableaux** (後述) という組合せ的対象が用いられた.
- 新しい対象 **decomposition tableaux** (L. Serrano [10]) による別な規則が最近示された (S. Cho [3]). 以下に詳しく述べる.

3.1 Schur P -functions

アルファベットとして $1' < 1 < 2' < 2 < \dots < n' < n$ を考える. $\lambda = (\lambda_1 > \dots > \lambda_r > 0)$ を strict partition とする. シフトされたヤング図形は, ヤング図形を各行を右に 1 マスずつシフトしたものである. それにアルファベットを以下のように書き入れる:

$$T = \begin{array}{cccccc} \boxed{1} & \boxed{2'} & \boxed{3'} & \boxed{3} & \boxed{3} & \boxed{3} \\ & \boxed{2} & \boxed{3'} & \boxed{4} & \boxed{5} & \\ & & & \boxed{3} & & \end{array}, \quad x^T = x_1^1 x_2^2 x_3^6 x_4 x_5$$

以下の条件が成り立つとき T を **marked shifted tableau** と呼ぶ:

- 上から下に, 左から右に弱い意味で増加する.
- $\begin{array}{|c|c|} \hline k' & k' \\ \hline \end{array}$ と $\begin{array}{|c|} \hline k \\ \hline k \\ \hline \end{array}$ はゆるぎされない.
- 対角線上にはプライムのある文字は入らない.

次のことが大切である:

- P 関数の表示 (Sagan [11], Worley [14])

$$P_{\lambda}(x) := \sum_{T: \text{marked shifted tableau of shape } \lambda} x^T.$$

- $Q_{\lambda}(x) = 2^{r_{\lambda}} P_{\lambda}(x)$ は I. Schur (1911) によって S_n の射影表現の指標を求めるために導入された.

3.2 Decomposition Tableaux

Cho [3] は P 関数の構造定数を decomposition tableaux によって記述した.

- $\{1, \dots, n\}$ に関するワード $w_1 \dots w_r$ が **hook word** であるとは $w_1 < \dots < w_s \geq w_{s+1} \geq \dots \geq w_r$ となる s があることである.
- ワード $w_1 \dots w_r$ が **decomposition tableau** であるとは正整数の減少列 $\mu = (\mu_1 > \dots > \mu_l > 0)$ があって w を

$$w = w^{(l)} \cdot w^{(l-1)} \dots w^{(1)} \quad \text{with length of } w^{(i)} = \mu_i,$$

と分解した時に $1 \leq i \leq l-1$ について $w^{(i+1)}w^{(i)}$ のなかで $w^{(i)}$ が hook subword であって最大の長さを持つものであることをいう。

μ を decomposition tableau の形 (shape) と呼ぶ。例えば, $w = 121|1233$ は形 $\mu = (4, 3)$ の decomposition tableau である。

ワード w に対して 1 が現れる個数, 2 が現れる個数, ... を並べてできる \mathbb{N}^n の元を w の **コンテンツ** と呼んで $\omega(w)$ で表す。

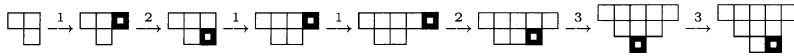
Serrano は形が λ の decomposition tableaux に渡る和として $P_\lambda(x)$ が $\sum x^{\omega(w)}$ と表されることを示した。

3.3 Cho の規則

$\mathcal{SP} = \bigcup_{n \geq 1} \mathcal{SP}_n$ とおく。

定義 3.1 λ を strict partition とする。ワード $w = w_1 \cdots w_r$ が λ -good であるとは $\lambda + \omega(w_1 \cdots w_j) \in \mathcal{SP}$ がすべての $j \geq 1$ に対して成り立つことをいう。

$w = 121|1233$ は (2, 1)-good decomposition tableau である：



定理 3.2 (Cho [3]) P 関数の構造定数 $c_{\lambda, \mu}^\nu$ は μ 上の decomposition tableaux であって λ -good かつコンテンツが $\nu - \lambda$ であるものの総数と一致する。

4 $OG(n)$ の K 理論的ピエリ規則

予想の定式化：

- 集合値のワード (set-valued word) とは $\{1, \dots, n\}$ の空でない部分集合 w_i の列 $w_1 \cdots w_r$ である。
- 集合値のワード $w_1 \cdots w_r$ が集合値の decomposition tableau であるとは $w_1 \times \cdots \times w_r$ が一定の形 λ の decomposition tableaux であることである。
- 集合値のワード $w_1 \cdots w_r$ の線型化は各 w_i の元を大きい順に読んで、えられたワードを繋げることによって得られるワードのことである。
- λ を \mathcal{SP}_n の元とする。集合値 decomposition tableau は λ -good であるというのは、その線型化が Cho の意味で λ -good であることである。

予想 4.1 (Cho-I.-Nakasuji) $\lambda, \mu, \nu \in \mathcal{SP}_n$ とする。 $K_0(OG(n))$ の構造定数 $c_{\lambda, \mu}^\nu$ は、 μ 上

の集合値 decomposition tableaux であって λ -good かつコンテンツが $\nu - \lambda$ であるものの個数と一致する。

K 理論的 P 関数 $GP_\lambda(x)$ (I.-Naruse [5]) を用いて予想を証明することを考えている。この予想と Clifford-Thomas-Yong [4] や Pechenik-Yong [8] の結果との関係はわかっていない。

定理 4.2 (Pieri rule (Cho-I.-Nakasuji)) 予想は $\mu = (k)$ の場合に正しい。

Buch-Ravikumar [2] の **KOG-tableaux** と λ -good な集合値 decomposition tableaux との間の全単射はわかっている。

本研究は科研費 15K04832 の補助を受けて行われた。

参考文献

- [1] A. S. Buch, A Littlewood-Richardson rule for the K -theory of Grassmannians, Acta Math. **189** (2002), No.1, pp. 37–78.
- [2] A. S. Buch and V. Ravikumar, Pieri rules for the K -theory of cominuscule Grassmannians, J. Reine Angew. Math. **668** (2012), 109–132.
- [3] S. Cho, A new Littlewood-Richardson rule for Schur P -functions, T. Am. Math. Soc. **365**, Num. 2 (2012), 939–972.
- [4] E. Clifford, H. Thomas, and A. Yong, K -theoretic Schubert calculus for $OG(n, 2n+1)$ and jeu de taquin for shifted increasing tableaux, J. reine angew. Math. **690** (2014), pp. 51–63.
- [5] T. Ikeda and H. Naruse: K -theoretic analogues of factorial Schur P - and Q -functions, Adv. Math. **243** (2013), 22–66.
- [6] T. Ikeda, H. Naruse, Y. Numata, Bumping algorithm for set-valued shifted tableaux (extended abstract for FPSAC 2011, Reykjavik), Discrete Math. Theor. Comput. Sci. (online) Proceeding volume for fpsac 2011, 527–538.
- [7] T. Ikeda and T. Shimazaki, A proof of K -theoretic Littlewood-Richardson rules by Bender-Knuth-type involutions, Math. Res. Lett. **21** (2014), No.2, pp.333–339.
- [8] O. Pechenik and A. Yong, Genomic tableaux, J. Algebr. Comb. **45** (3), (2017), pp.649–685.
- [9] P. Pagacz, Algebro-geometric applications of Schur S - and Q -polynomials. Topics in invariant theory (Paris, 1989/1990), 130–191, Lecture Notes in Math., 1478, Springer, Berlin, 1991.

- [10] L. Serrano, The shifted plactic monoid, *Math. Z.* **266**, Issue 2 (2010), pp. 363–392.
- [11] B. E. Sagan, Shifted tableaux, Schur Q -functions and a conjecture of R. Stanley, *J. Comb. Theory A*, **45** (1987), pp. 62–103.
- [12] J. R. Stembridge, Shifted Tableaux and the Projective Representations of Symmetric Groups, *Adv. Math.* **74** (1989), pp. 87–134.
- [13] H. Thomas and A. Yong, A jeu de taquin theory for increasing tableaux, with applications to K-theoretic Schubert calculus, *Algebr. Number theory*, 3:2 (2009), pp.121–148.
- [14] D. R. Worley, A Theory of Shifted Young Tableaux, Ph. D. thesis, MIT (1984)